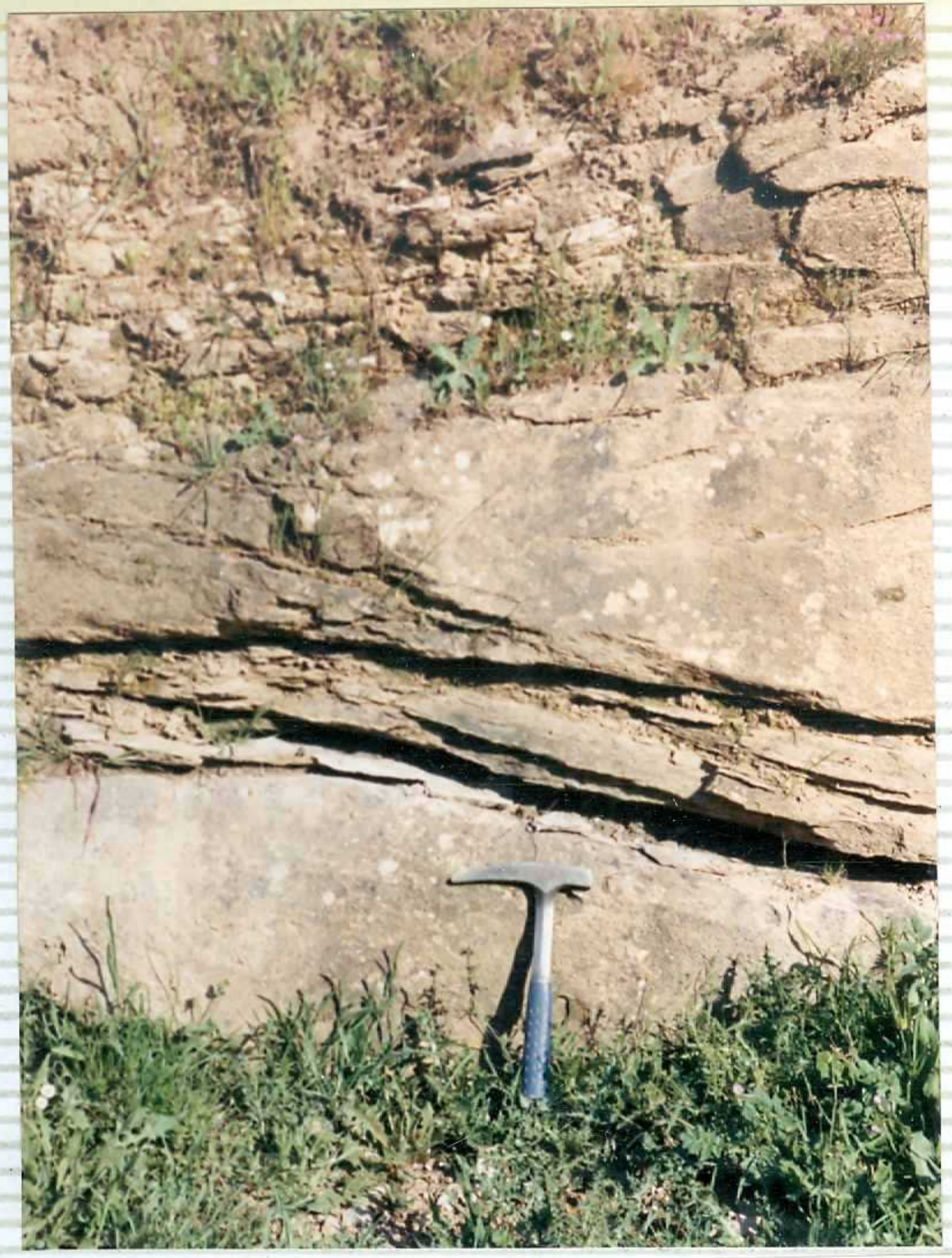


OA-9069. Aspecto de detalle de la fotografía 9065.



OA-9070. Calizas laminadas en la formación detrítico-carbonatada (50, 53) de la Unidad Loma del Aire.



OA-9071. Panorámica de las calizas de la Unidad de Loma del Aire.



OA-9072. Aspecto de detalle del techo de la formación detrítico-carbonatada (50, 53) en la Unidad de Loma del Aire.



OA-9073. Aspecto en afloramiento de las pizarras satinadas oscuras (54, 56) de la Unidad de Loma del Aire. Obsérvese el desarrollo del delgado nivel edáfico desarrollado sobre la serie metamórfica.



OA-9074. Detalle de la fotografía anterior.



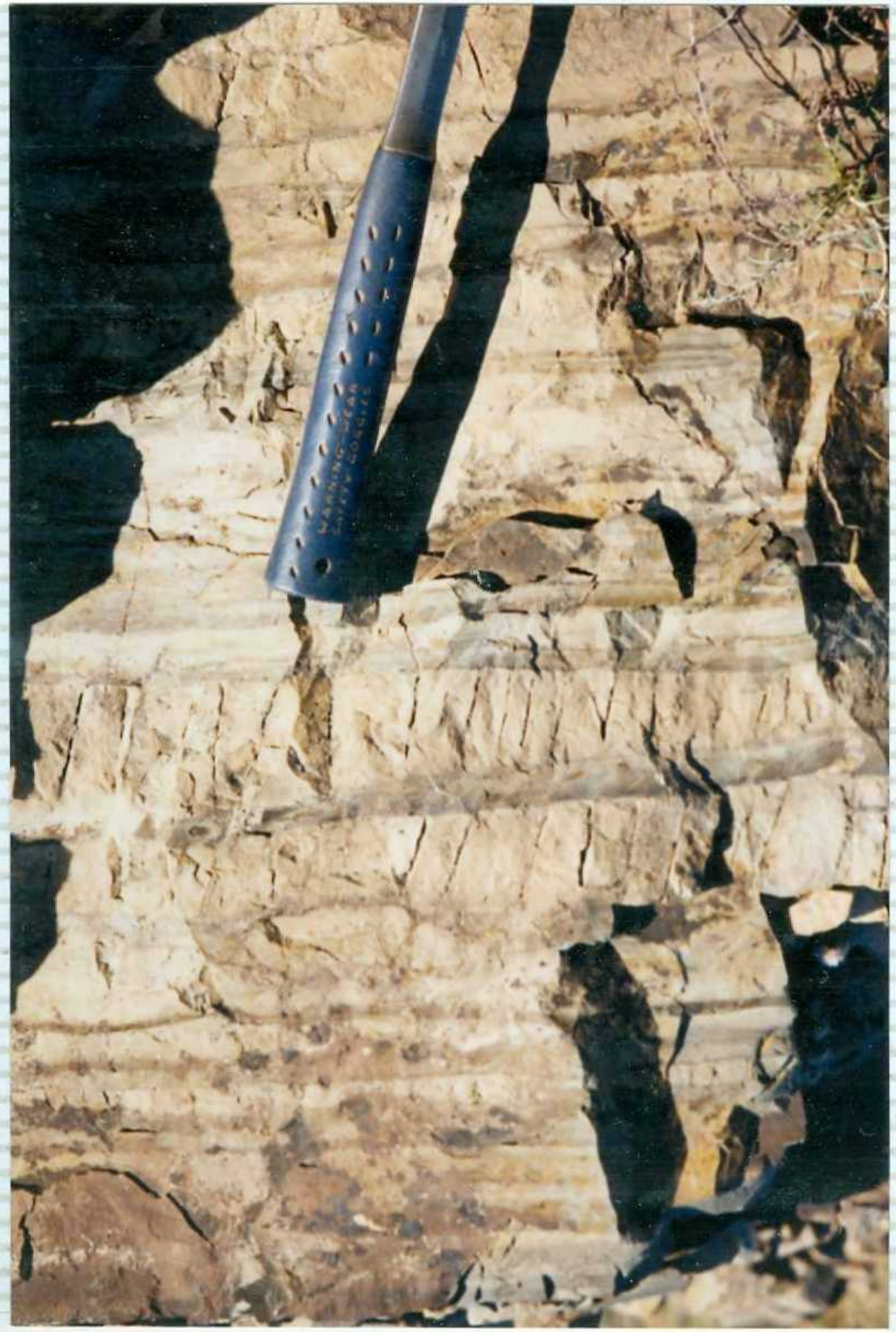
OA-9075. Aspecto de un nivel cuarcítico intercalado en la sucesión de pizarras satinadas oscuras (54, 56) en la Unidad Loma del Aire.



OA-9076. Pizarras precámbricas (28, 30) de la Unidad de Benalija.



OA-9077. Alternancia de niveles arcósicos (32) en bancos de potencia decimétrica y puntas pizarrosas (Tramo F. de Torreárboles en Unidad de Benalija).



OA-9078. Alternancia centimétrica de niveles de arcosas finas y pizarras (33) (Tramo II de la F. Torreárboles de la Unidad de Benalija).



OA-9079. Calizas marmóreas laminadas con niveles filíticos (Calizas, Dolomías y pizarras 34, 37 de la Unidad de Benalija).



OA-9080. Aspecto de las pizarras de Benalija (38-43) (Unjidad de Benalija).



OA-9081. Pizarras y areniscas del Arroyo Tamujar (44-46) (Unidad de Benalija).



OA-9082. Metavolcanitas básicas del Cámbrico medio (47-48) a techo de la Unidad de Benalija.



OA-9083. Aspecto de detalle de las lutitas oscuras (26, 27) de la Unidad del Valle.



OA-9084. Nivel de metarenitas ocres en la alternancia de pizarras y metarenitas (24, 25) (Unidad del Valle).



OA-9085. Aspecto general de la sucesión de esquistos migmáticos (15, 16) en Unidad de Fuente de Cantos.





OA-9086 y 9087. Fotos de detalle de la sucesión anterior en las que se observan unos diferenciados aplíticos más claros de origen anatéctico.



OA-9088. Afloramiento del granito de Ahillones (1).



OA-9089. Foto de detalle del granito de Ahillones.



OA-9090. Aspecto en afloramiento de la granodiorita de Pallares (2, 3, 4).



OA-9091. Aspecto de detalle de la granodiorita de Pallarés (se observa un pequeño enclave).



OA-9092. Aspecto de detalle de la facies porfídica de borde en la granodiorita de Pallarés.



OA-9093. Aspecto en afloramiento de los gabros del Pintado (5).



OA-9094. Foto de detalle de los gabros del Pintado.



OA-9095. Aspecto de un travertino en el Arroyo del Moro (66).



OA-9096. Detalle de la foto anterior, se observa la discontinuidad entre un travertino en cascada con bioclastos de tallos, y otro constituido por tallos en posición de vida.



OA-9097. Panorámica del escarpe de falla en el borde norte del Cerro del Tambor.



OA-9098. Aspecto del escarpe de falla anterior en la zona norte.